

4.4 Kinematik von elliptischen Galaxien

Ausgangsbasis

Oberflächliche Einschätzung: Elliptische Galaxien (und Zentralsphäroide von Scheibengalaxien, *bulges*) sind einfach strukturierte Systeme,

- Axialsymmetrische Rotationsellipsoide,
- Abflachung und Stabilisierung durch Rotation;
- Sehr geringer Gasgehalt, kaum Staub;
- Nur alte Sterne, Sternentstehungsrate $\Psi \simeq 0$ seit vielen 10^9 a.

Wesentliche Erkenntnisfortschritte durch detaillierte Spektroskopie:

- Massereiche E-Galaxien rotieren kaum, massearme E-Galaxien und *Bulges* hingegen zeigen oft signifikante Rotation!
- Häufig komplexe kinematische Strukturen: Gegenläufig rotierende Kernbereiche; schwache eingebettete (rotierende) stellare Scheiben.
- Insbesondere massearme E-Galaxien enthalten *auch* „jüngere“ (Alter $\lesssim 5 \cdot 10^9$ a) Sterne.
- Erhebliche Mengen an heißem ($\sim 10^7$ K) Gas, sichtbar nur im Röntgenbereich.
- Praktisch jede elliptische Galaxie und jeder *Bulge* enthält ein massereiches ($10^6 \dots 10^{10} M_\odot$) schwarzes Loch.

Komplexe Struktur heutzutage oft gedeutet als Anzeichen der Entstehung elliptischer Galaxien durch Verschmelzung kleinerer Einheiten, z.B. zweier Spiralgalaxien (*Merger*).

Grundgleichungen

Da Sterne quasi-kollisionsfreies Gas bilden (s.o.), können separate Komponenten für lange Zeit koexistieren. Aufgabe der Identität erst \sim nach Relaxationszeitskala.

Im allgemeinen kann *nicht* davon ausgegangen werden, dass Ort \vec{x} und Geschwindigkeit \vec{v} einer Komponente eng verknüpft sind (anders als z.B. in Scheibengalaxien mit Kreisbahnen und $v = v(R)$).

D.h. zur Charakterisierung des Systems braucht man nicht nur die Verteilungsfunktion der Positionen $n(\vec{x})$, sondern auch die der Geschwindigkeiten am Ort \vec{x} .

\Rightarrow Verteilungsfunktion im *Phasenraum*:

$$f(\vec{r}, \vec{v}, t) dx dy dz dv_x dv_y dv_z$$

gibt an die Anzahl der Sterne zum Zeitpunkt t pro Volumen- und Geschwindigkeitselement.

Anzahldichte der Sterne im Raum:

$$n(\vec{x}, t) = \int \int \int f dv_x dv_y dv_z$$

Gesamtzahl der Sterne bleibt erhalten \Rightarrow Kontinuitätsgleichung

$$\frac{\partial f}{\partial t} + \sum_{i=1}^3 \frac{\partial f \dot{x}_i}{\partial x_i} + \sum_{i=1}^3 \frac{\partial f \dot{v}_i}{\partial v_i} = 0 \quad .$$

Unabhängigkeit von Ort und Geschwindigkeit (mit $\dot{x}_i = v_i$):

$$\frac{\partial v_i}{\partial x_i} = 0$$

Beschleunigung \dot{v}_i ist durch das Gravitationspotential gegeben:

$$\dot{v}_i = -\frac{d\Phi}{dx_i}$$

Damit ergibt sich die *Grundgleichung der Stelldynamik* („Stoßfreie Boltzmann-Gleichung“; vgl. Thermodynamik):

$$\frac{df}{dt} = \frac{\partial f}{\partial t} + \sum_{i=1}^3 v_i \frac{\partial f}{\partial x_i} - \sum_{i=1}^3 \frac{\partial \Phi}{\partial x_i} \frac{\partial f}{\partial v_i}$$

Übliche Einschränkung: Betrachte nur stationäre Systeme, d.h.

$$\partial f / \partial t = 0 .$$

Aufgabe des Beobachters: Bestimme $f(\vec{r}, \vec{v})$ aus empirischen Daten. Praktisch aber allenfalls in Milchstraße möglich (Einzelsterne).

Statt dessen: Bestimme „*Momente*“ von f , z.B.

Anzahldichte = 0. *Moment in v* :

$$n(\vec{x}) = \int f d^3v$$

Mittlere Geschwindigkeit = 1. *Moment in v*

$$\bar{v}_i = \frac{1}{n} \int v_i f d^3v$$

Geschwindigkeitsdispersion = 2. *zentrales Moment in v*

$$\sigma_i^2 = \frac{1}{n} \int (v_i - \bar{v}_i)^2 f d^3v$$

Anwendung auf Boltzmanngleichung führt auf drei Beziehungen („Jeans-Gleichungen“, nach J. Jeans; s. Binney & Tremaine, S. 195f):
(J1)

$$\frac{\partial n}{\partial t} + \frac{\partial}{\partial x_i}(n\bar{v}_i) = 0 .$$

(J2)

$$\frac{\partial}{\partial t}(n\bar{v}_j) + \frac{\partial}{\partial x_i}(n\bar{v}_i\bar{v}_j) + n\frac{\partial\Phi}{\partial x_j} = 0 .$$

(J3)

$$n\frac{\partial\bar{v}_j}{\partial t} + n\bar{v}_i\frac{\partial\bar{v}_j}{\partial x_i} = -n\frac{\partial\Phi}{\partial x_j} - \frac{\partial}{\partial x_i}(n\sigma_{ij}^2)$$

mit dem „Geschwindigkeitsdispersions-Tensor“ $\sigma_{ij}^2 \equiv \overline{v_i v_j} - \bar{v}_i \bar{v}_j$

σ_{ij}^2 ist symmetrisch \Rightarrow kann diagonalisiert werden; dann geben σ_{11} , σ_{22} , σ_{33} die Standardabweichungen der Sternengeschwindigkeiten in Richtung der *kinematischen Hauptachsen* des Systems an.

Lösungen der Jeans-Gleichungen geben Aufschluss über dreidimensionale Struktur des Systems. Leider in meisten Fällen immer noch nicht ausreichend durch Beobachtungen eingeschränkt; Zusatzannahmen über Symmetrien nötig.

Ein System heißt *isotrop*, wenn gilt:

$$\sigma_{11} = \sigma_{22} = \sigma_{33} ,$$

dann sind die σ direkt messbar (s.u.). Neuere Messungen zeigen leider: Elliptische Galaxien sind in der Regel in erheblichem Maße *anisotrop*.

Folge: Rekonstruktion der dreidimensionalen kinematischen Struktur sehr kompliziert und modellabhängig.

Geschwindigkeitsdispersion

Einzige messbare Verteilung: Geschwindigkeiten *in Richtung der Sichtlinie*, \rightarrow muss mit größtmöglicher Genauigkeit gemessen werden!

Dazu: Spektroskopie stellarer Absorptionslinien (Überlagerung aller Sterne längs der Sichtlinie). Schwierigkeiten:

- oft schwaches Signal, schwer zu messen;
- Linien der Sterne sind bereits verbreitert;
- einzelne Linien gibt es kaum, insbesondere bei alten kühlen Sternen;
- „Sichtlinie“ in Wirklichkeit „Sichtzylinder“.

Vorgehensweise:

1. Man nehme ein Sternspektrum (Stern aus der Sonnenumgebung), dessen Spektraltyp etwa dem der Galaxie entspricht.
2. Wenn $f(v_r)$ bekannt wäre, erhielte man das beobachtete Galaxienspektrum durch Faltung des Sternspektrums mit $f(v_r)$.
3. Umgekehrt ist dies ein Entfaltungsproblem: Schätze $f(v_r)$ aus Beobachtungen und Referenzstern-Spektrum!

Datenqualität oft nicht ausreichend für Bestimmung von $f(v_r)$. Dann Reduktion auf Messung von Mittelwert und Standardabweichung \bar{v}_r und σ_r (Momente in Richtung der Sichtlinie).

Falls Geschwindigkeiten in Sichtlinie annähernd normalverteilt:

$$f(v) = e^{-0.5[(v-\bar{v})^2/\sigma^2]}$$

und intrinsisches Linienprofil ebenfalls \sim Gaußkurve mit Breite σ_L , dann gilt für die gemessene Linienbreite σ' :

$$\sigma'^2 = \sigma_r^2 + \sigma_L^2 \quad \Rightarrow \quad \sigma_r^2 = \sigma'^2 - \sigma_L^2 .$$

Resultate:

Rotation: ist nachweisbar in E-Galaxien, aber v_{rot} in massereichen E ist i.allg. sehr viel kleiner als in Scheibengalaxien, typischerweise $v_{\text{rot}} < 50 \text{ km/s}$. Bei weitem nicht ausreichend zur Stabilisierung gegen gravitativen Kollaps!

Geschwindigkeitsdispersion: i.allg. sehr viel größer als Rotationsgeschwindigkeit. Deutet auf Stabilisierung durch *ungeordnete Bewegungen der einzelnen Sterne*.

Als Funktion des Abstands vom Zentrum:

σ fällt langsam von innen nach außen ab oder bleibt \sim konstant.

Für massearme E-Galaxien und *Bulges* sind v_{rot} und σ_r miteinander korreliert; wenn σ_r gemittelt wird innerhalb $r < r_{\text{eff}}$, gilt: $v_{\text{rot}} \simeq \bar{\sigma}_r$.

v_{max}/σ_r ist nicht mit der Elliptizität der Galaxie $e = 1 - b/a$ korreliert. Daraus folgt, dass E-Galaxien keine durch Rotation abgeflachten Sphäroide sein können (Beweis: \rightarrow Übung).

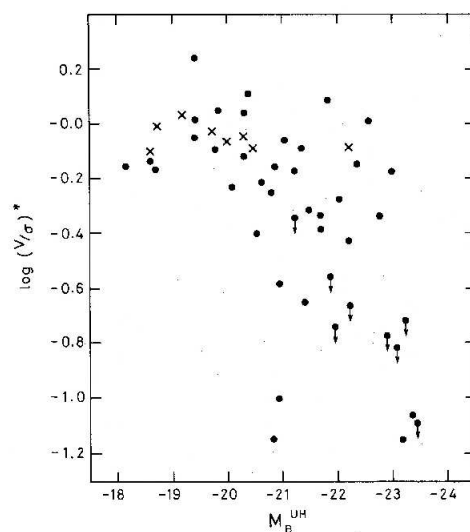


FIG. 4.— $\log (V/\sigma)^*$ against absolute magnitude. Ellipticals are shown as filled circles and the bulges as crosses; $(V/\sigma)^*$ is defined in § IIIb.

Faber-Jackson-Relation und „Fundamental Plane“

Gesamtleuchtkraft L und *zentrale* Geschwindigkeitsdispersion σ_c sind korreliert (Faber & Jackson 1976):

$$L \propto \sigma_c^4$$

(Analogie zur Tully-Fisher-Relation).

Allerdings: Erhebliche Streuung, die *nicht* auf Meßfehlern beruht!

Weitere Korrelation (Kormendy 1977):

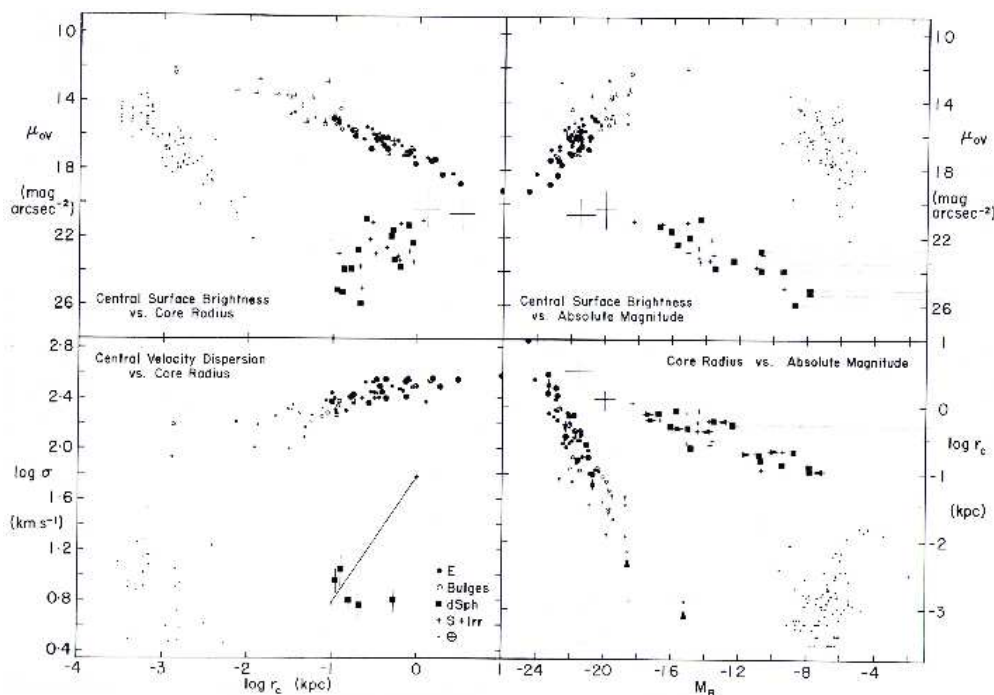
$$r_{\text{eff}} \propto F(r_{\text{eff}})^{-0.85}.$$

wobei $F(r_{\text{eff}})$ die *mittlere Flächenhelligkeit* für $r < r_{\text{eff}}$ ist.

Mit $F(r_{\text{eff}}) = L/(2\pi r_{\text{eff}})$ ergibt sich eine mehrparametrische Beziehung:

$$r_{\text{eff}} \propto \sigma_c^{1.4} \cdot F(r_{\text{eff}})^{-0.85}$$

Im 3-dimensionalen Parameterraum $(r_{\text{eff}}, \sigma_c, F(r_{\text{eff}}))$ sind elliptische Galaxien auf eine Ebene („*fundamental plane*“) konzentriert. Senkrecht auf diese Ebene ist die Streuung sehr gering.



see: Kormendy (1987) *Nearly Normal Galaxies*, Springer Verlag

Massenverteilung in elliptischen Galaxien

Messung von $\rho(\vec{r})$ erheblich schwieriger als in S-Galaxien. Indikatoren:

- Verlauf von $\sigma(r)$ (\rightarrow projizierte Massendichte)
- Profil der Geschwindigkeits-Verteilungsfunktion (Massenverteilung entlang der Sichtlinie).

Annahmen: Sphärische Symmetrie (aber nicht notwendigerweise Kreisbahnen!); tangentielle Geschwindigkeitsdispersion σ_θ ist \sim konstant über die Galaxie; Anzahldichte als Potenzgesetz approximierbar,

$$n(r) \propto n_0 r^{-k} \quad \text{mit} \quad k \sim 3$$

Problem: Mögliche Anisotropie der Geschwindigkeitsverteilung. Quantifizierung über „Anisotropieparameter“ β :

$$\beta \equiv 1 - (\overline{v_\theta^2} / \overline{v_r^2})$$

Vollständige Isotropie:

$$\beta = 0$$

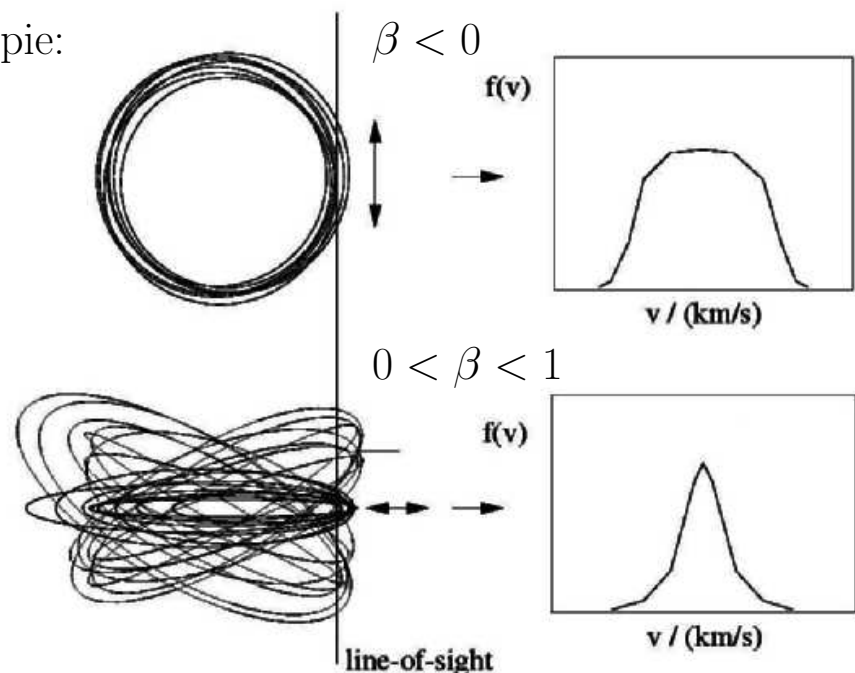
$$(\overline{v_\theta^2} = \overline{v_r^2})$$

Tangentiale Anisotropie:

$$(\overline{v_\theta^2} > \overline{v_r^2})$$

Radiale Anisotropie:

$$(\overline{v_\theta^2} < \overline{v_r^2})$$



Falls $\beta \simeq \text{const.}$ für eine Galaxie, dann kann die erste Jeans-Gleichung leicht integriert werden und liefert

$$M(< r) = \frac{\sigma_\theta^2 r}{G} \frac{k - 2\beta}{1 - \beta}$$

Mit $k = 3$ folgt die Massenverteilung für verschiedene β :

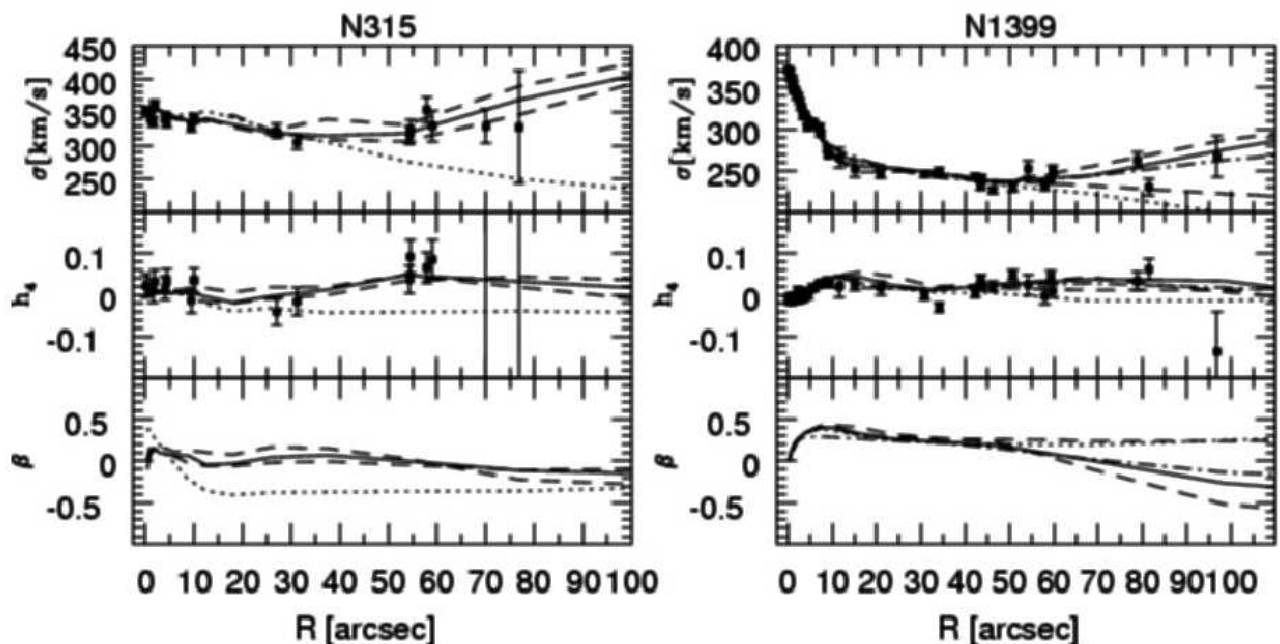
$$\beta = 0: \quad M(< r) = 3\sigma_\theta^2 r / G$$

$$\beta \rightarrow -\infty: \quad M(< r) \rightarrow 2\sigma_\theta^2 r / G$$

$$\beta \rightarrow 1: \quad M(< r) \rightarrow \infty$$

Man kann also eine *untere Grenze* für die bei r eingeschlossene Masse angeben (unter Annahme tangentialer Bahnen), die Masse kann aber auch sehr viel größer sein, wenn radiale Bahnen häufig sind!

Bei sehr guten Daten: spektroskopische Bestimmung höherer Momente der Verteilungsfunktion $f(\vec{r}, \vec{v}) \Rightarrow$ empirische Einschränkung von β . Nur in besonders nahen & hellen Galaxien machbar.

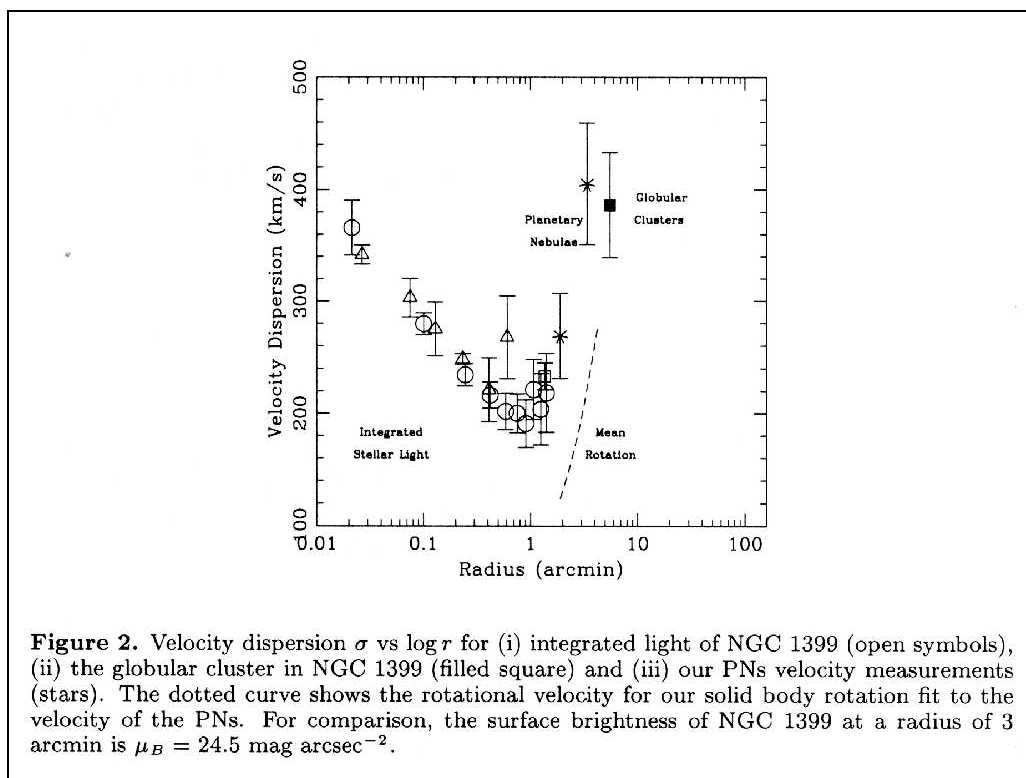


Dunkle Materie in elliptischen Galaxien?

Problem: Messung von $\sigma(r)$ in Außenbereichen von E-Galaxien extrem schwierig. Spektroskopie von Galaxie-Absorptionslinien nur in Innenbereichen machbar.

Weiter außen: Radialgeschwindigkeiten von Planetarischen Nebeln und Kugelsternhaufen (Halo-Objekte), bei genügender Anzahl auch Bestimmung von σ möglich.

Während weiter innen $\sigma(r)$ i.allg. \sim konstant oder leicht abfällt, gibt es in einzelnen Objekten Anzeichen für Anstieg bei großen r .



⇒ Hinweis auf riesigen Halo aus Dunkler Materie!

Allerdings gibt es neuere Resultate, die davon abweichen: Einzelne E-Galaxien scheinen keinen massereichen DM-Halo zu besitzen ($\sigma(r)$ fällt immer weiter ab!). Noch nicht endgültig geklärt.